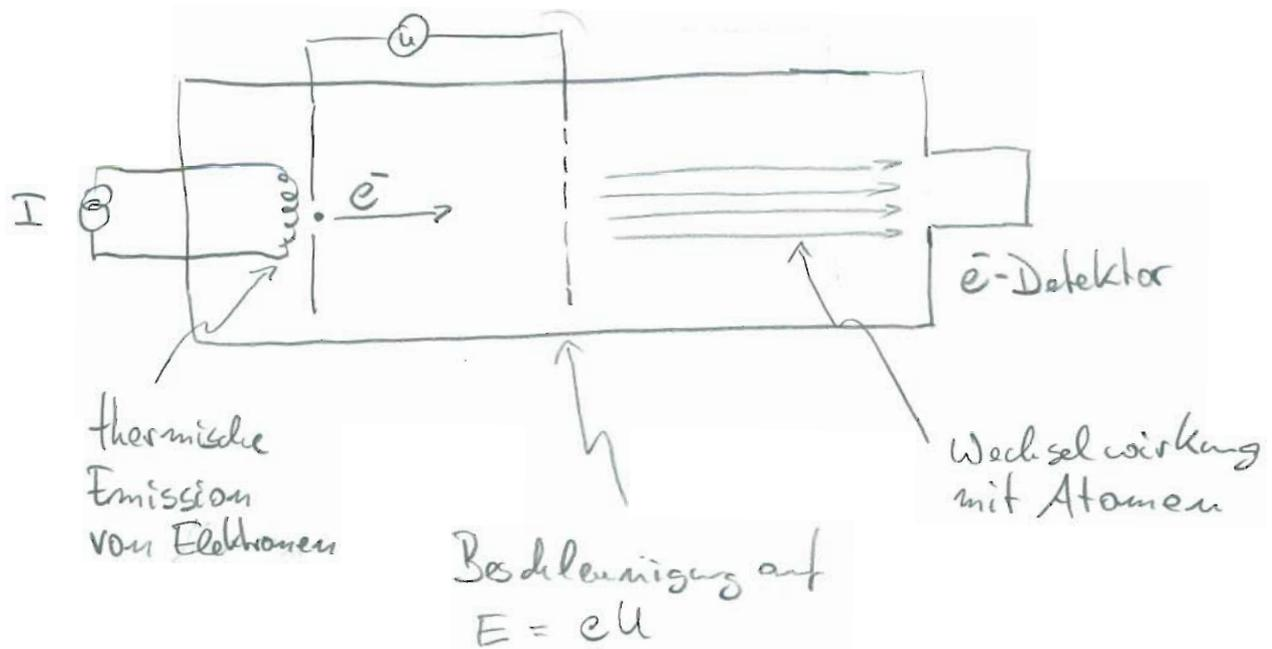


Kernstruktur des Atoms

- Untersuchung der Verteilung von Masse und Ladung im Atom durch Streuexperimente

- Streuung von Elektronen kontrollierter Energie an Atomen (Lenard, ca. 1890)



- Streuprozesse:
 - inelastische Streuung
⇒ Anregung oder Ionisation von Atomen
 - elastische Streuung
⇒ Streuung an Atomkernen
- Beobachtung:
 - Bei ausreichend hohen Energien $E_{\text{kin}} = eU$ durchdringen e^- selbst einige cm Gas bei Normaldruck (1 bar) oder auch wenige μm dicke Metallfolien ($\sim 10^4$ Atomlagen)

⇒ Wechselwirkung von e^- mit Atom ist viel kleiner als Wechselwirkung zwischen Atomen.

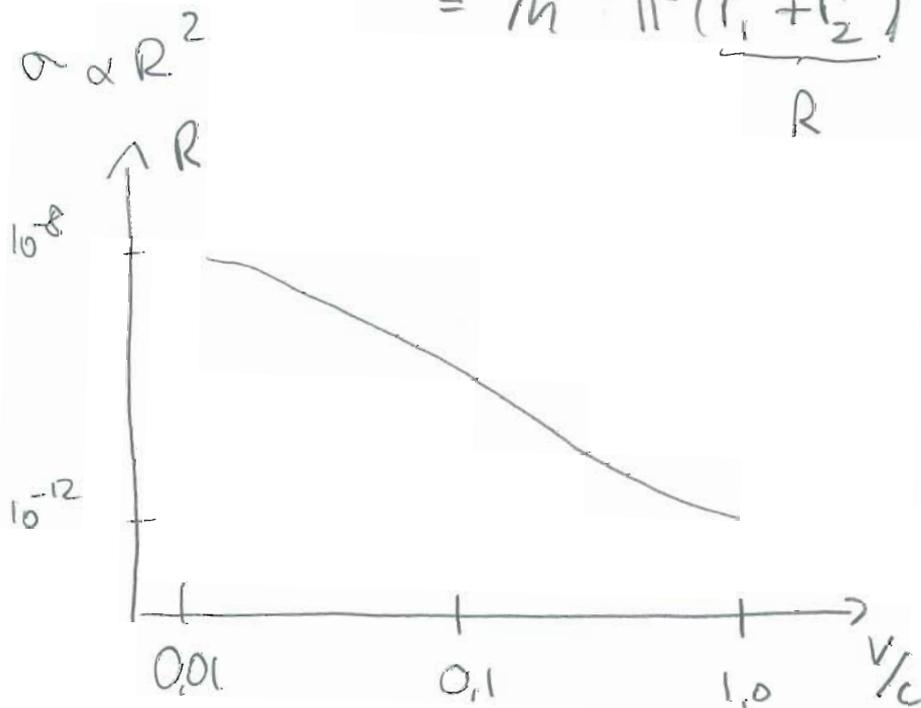
- Bestimmung der Stärke der Wechselwirkung in Abhängigkeit von der kinetischen Energie der e^- durch Variation der Beschleunigungsspannung U .

$$I = I_0 e^{-\alpha x}$$

α : Streukoeffizient
 x : Wechselwirkungslänge

$$\alpha = m \sigma$$

$$= m \pi \frac{(r_1 + r_2)^2}{R}$$



Starke Abhängigkeit des Streuquerschnitts von der Energie der e^-

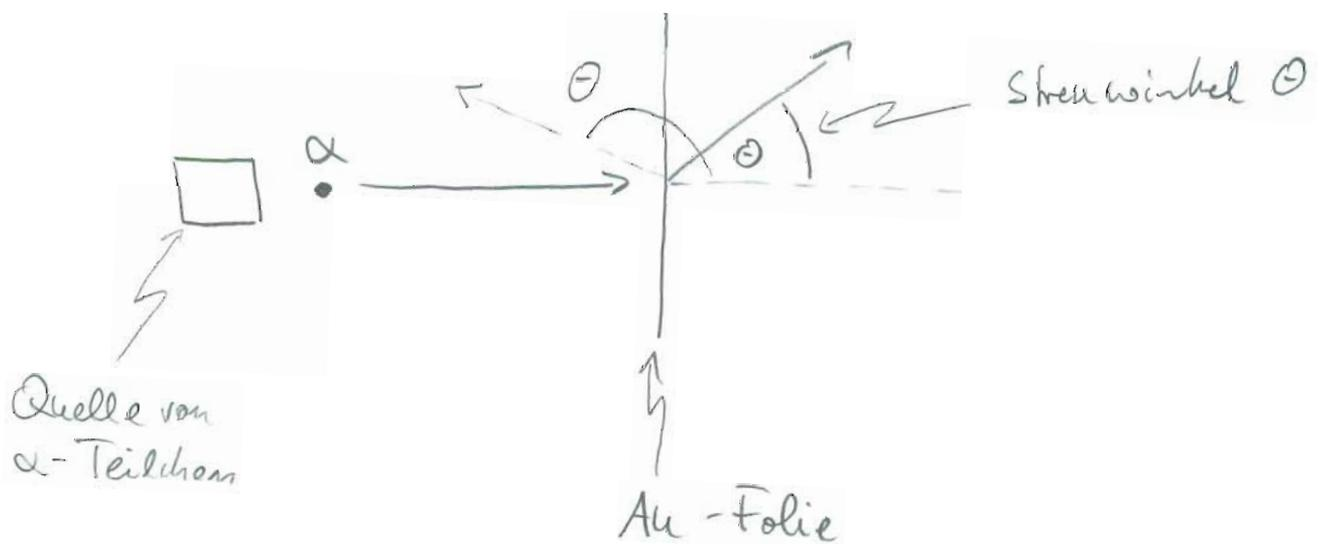
⇒ 10^{-8} Reduktion von σ

⇒ Nur kleiner Bruchteil des Atoms ist für Elektronen undurchlässig!

Rutherford - Streuung

- Streuung von α -Teilchen an Atomen
Zum Nachweis des Atomkerns der die gesamte positive Ladung Ze des Atoms auf kleinstem Raum ($\sigma \sim 10^{-14} \text{ m}$) vereinigt

- Experiment von Geiger & Marsden (1911)



α -Teilchen : - $\text{He}^{2+} = 2n + 2p$ ($Z=2, A=4$)

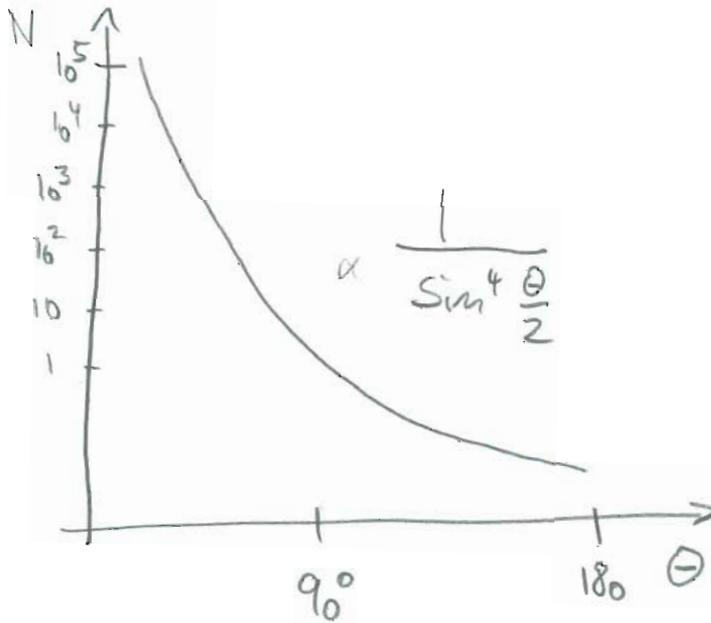
- $E_{\text{kin}} \sim 5 \text{ MeV}$

- erzeugt in radioaktiven Zerfällen

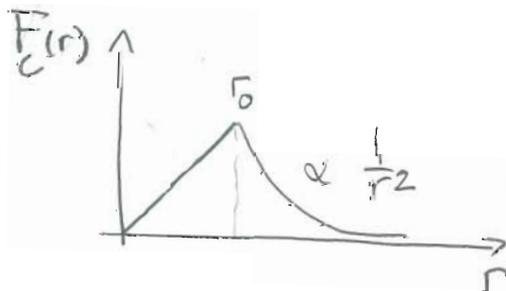
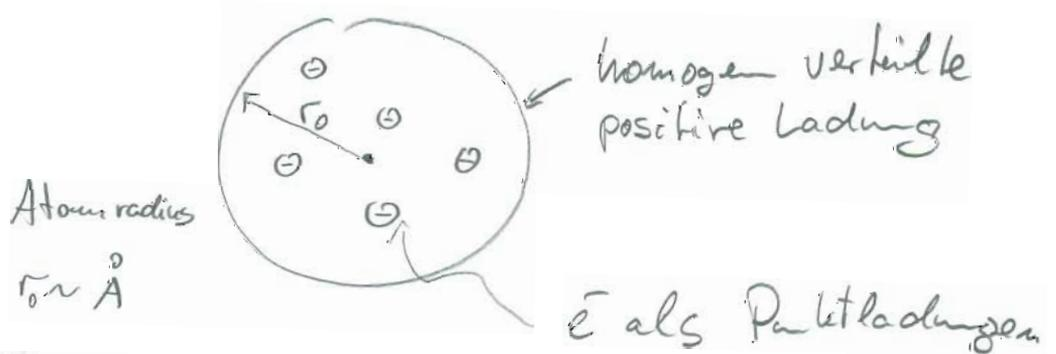
- detektierbar in Szintillationszählern,
mit Nebelkammer oder Fluoreszenz-
schirmen

Beobachtung:

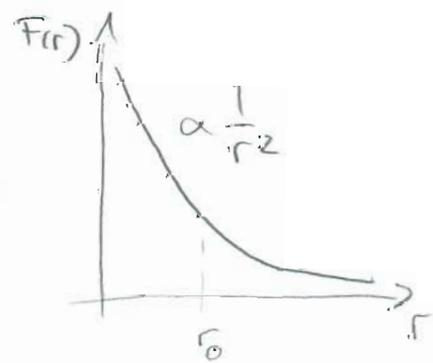
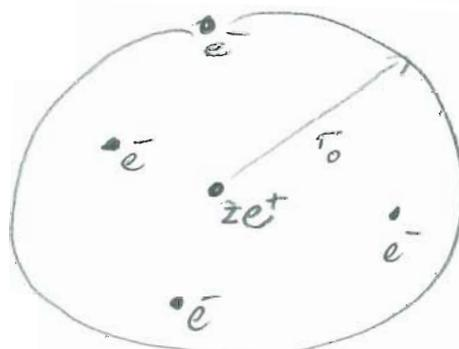
- charakteristische **starke Abhängigkeit der Streurate** von Θ
- grosse Streuwinkel kommen vor



- inkompatibel mit **Thomson'schem Atommodell**

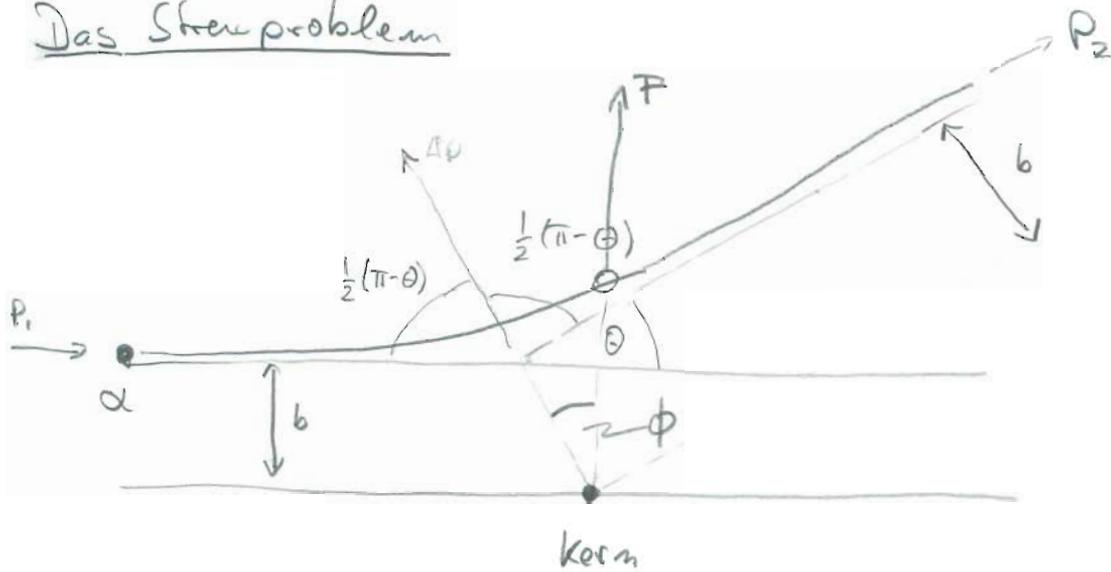


- Rutherford's Atommodell



Berechnung der Winkelverteilung der gestreuten α -Teilchen nach Rutherford

Das Streuproblem



b : Stoßparameter

Ze : Ladung des Kerns

Θ : Streuwinkel

ze : Ladung des α -Teilchens

Annahmen :

- α , Kern verhalten sich näherungsweise wie punktförmige Teilchen

- Kern bleibt bei Stoß in Ruhe

$$\Rightarrow m_z \gg m_\alpha$$

\Rightarrow Kern ist im Gitter fixiert

- Wechselwirkung zwischen Kern und α ist rein elektrostatisch

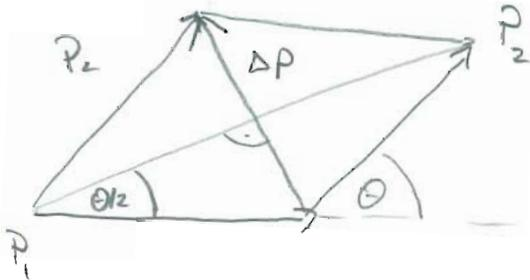
$$\vec{F} = \frac{ze ze}{4\pi\epsilon_0} \frac{1}{r^2} \vec{r}$$

und wirkt abstoßend

- Mechanik: $\frac{1}{r}$ - Zentralpotential (abstoßend)
führt zu Hyperbelbahn mit Kern im äußeren Brennpunkt

- Streuwinkel und Impulsänderung

- kinetische Energie E_{kin} und Betrag des Impulses p des α -Teilchens sind vor und nach dem Stoß erhalten



$$p_1 = p_2 = mv = \text{const}$$

- Impulsänderung Δp beim Stoß

$$\Delta p = 2 m v \sin \frac{\theta}{2}$$

- hervorgerufen durch Coulomb-Wechselwirkung

$$\Delta p = \int_{-\infty}^{\infty} F_c \cos \phi \, dt$$

ϕ : Winkel zwischen der auf α -Teilchen wirkenden Kraft \vec{F} und dem Vektor der Impulsänderung $\Delta \vec{p}$ in Abhängigkeit von der Position auf der Bahn

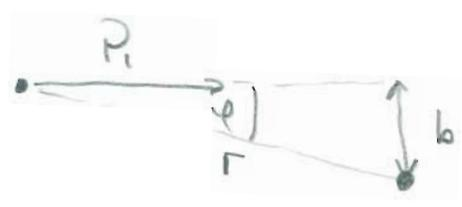
Komponente von \vec{F} senkrecht zu $\Delta \vec{p}$ trägt nicht zur Änderung der Richtung bei.

- Wechsel der Integrationsvariablen $dt \rightarrow d\phi$

$$\Delta p = \int_{-\frac{1}{2}(\pi-\theta)}^{+\frac{1}{2}(\pi-\theta)} F \cos \theta \frac{dt}{d\phi} d\phi$$

→ statt Zeitabhängigkeit wird Winkelabhängigkeit der Kraft betrachtet

- Benutze Erhaltung des Drehimpulses im Zentralpotential zur Berechnung des Ausdrucks $\frac{dt}{d\phi}$



$$|\vec{L}| = |\vec{r} \times \vec{p}| = \sin \phi \cdot r \cdot m v$$

$$= \frac{b}{r} m v$$

$$\stackrel{!}{=} I \omega = m r^2 \frac{d\phi}{dt}$$

I: Trägheitsmoment
ω: Winkelgeschw.

$$\Rightarrow \frac{dt}{d\phi} = \frac{r^2}{v b}$$

- Impulsänderung

$$\Delta p = \frac{1}{4\pi\epsilon_0} \frac{zeze}{vb} \int_{-\frac{1}{2}(\pi-\theta)}^{+\frac{1}{2}(\pi-\theta)} \cos \phi d\phi$$

$$= 2 \cos \frac{\theta}{2}$$

berechnet aus wirkenden Kräfte

$$\stackrel{!}{=} 2 m v \sin \frac{\theta}{2}$$

aus Impulserhaltung

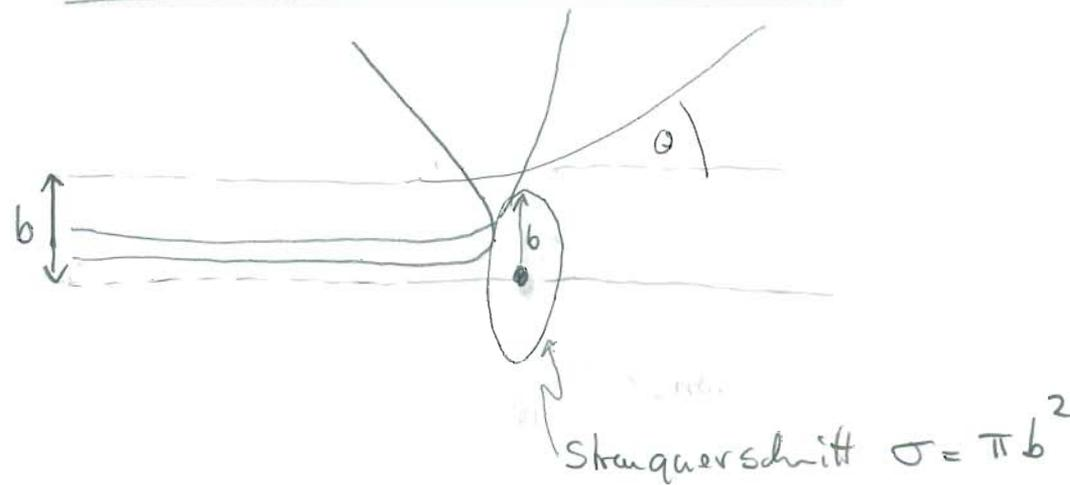
- **Streuwinkel** für α -Teilchen **nach Rutherford**

$$\frac{\cos \frac{\theta}{2}}{\sin \frac{\theta}{2}} = \cot \frac{\theta}{2} = \frac{4\pi\epsilon_0}{ze^2} \frac{mv^2}{b}$$

E_{kin} des α -Teilchens

Stoßparameter

Die Rutherford'sche Streuformel



- Bestimme Anteil der α -Teilchen, die sich dem Kern auf **weniger als eine Stoßparameter b** nähern und folglich um **mehr als einen Winkel θ** gestreut werden.

- Betrachte folgende Situation:

- Streuung von α -Teilchen an sehr dünner Au-Folie der Dicke d und der Dichte n

\rightarrow nur **ein Streuprozess pro α -Teilchen**;
kein Überlapp zwischen benachbarten Wirkungsquerschnitten

- **Querschnitt des α -Strahls sei A**

- Streuwahrscheinlichkeit für Winkel grösser als Θ

$$f = \frac{ndA \sigma}{A}$$

$$= nd \pi b^2$$

$$= nd \pi \left(\frac{ze^2}{4\pi \epsilon_0 E_{kin}} \right)^2 \cot^2 \frac{\Theta}{2}$$

ndA : Zahl der Streuzentren

σ : Streuquerschnitt

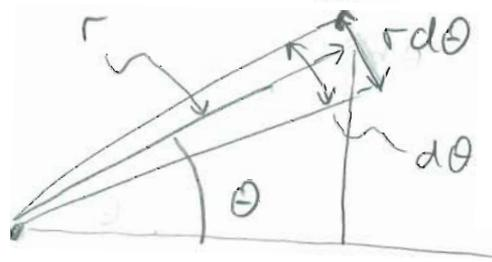
A : Strahlquerschnitt

\rightarrow selbe Betrachtung wie bei Atomen

- Streuwahrscheinlichkeit im dem Winkelbereich $d\Theta$ um Θ

$$df = \frac{\partial f}{\partial \Theta} d\Theta$$

$$= nd \pi \left(\frac{ze^2}{4\pi \epsilon_0 E_{kin}} \right)^2 \cot \frac{\Theta}{2} \frac{1}{\sin^2 \frac{\Theta}{2}} d\Theta$$



Strahlachse

Streuzentrum

- Zahl der in einem Detektor mit Fläche dS gestreuten Teilchen

$$dS = 2\pi \sin \Theta r \, rd\Theta$$

$$= 4\pi r^2 \sin \frac{\Theta}{2} \cos \frac{\Theta}{2} d\Theta$$

Rutherford'sche Streuformel:

$$N(\theta) = N_i \frac{df}{ds}$$

Ladung des Kerns

$$= N_i \cdot md \cdot \frac{z^2 e^4}{E_{kin}^2} \cdot \frac{1}{\sin^4 \frac{\theta}{2}} \cdot \frac{1}{(8\pi\epsilon_0)^2 r^2}$$

Eigenschaften des Streukörpers

charakteristische Winkelabhängigkeit

→ Bestätigt Rutherford-Modell des Atoms,
Entdeckung des Atomkerns

→ Abweichungen vom Modell werden für sehr große
Streuwinkel und kleine Stoßparameter ($b < 10^{-15} \text{ m}$)
beobachtet
⇒ Hinweis auf Kernkräfte